



TV: TeleVisión – Plan 2010

AVC





Contenido

- 1. Introducción
 - 1. ¿Qué es AVC/H.264?
 - 2. Aplicaciones
 - 3. Diferencias con estándares previos
- 2. Codificador/descodificador
- 3. Predicción
 - 1. Intra
 - 2. Inter
- 4. Imágenes SP y SI
- 5. Transformación y cuantificación
- 6. Filtro de reconstrucción
- 7. Codificación

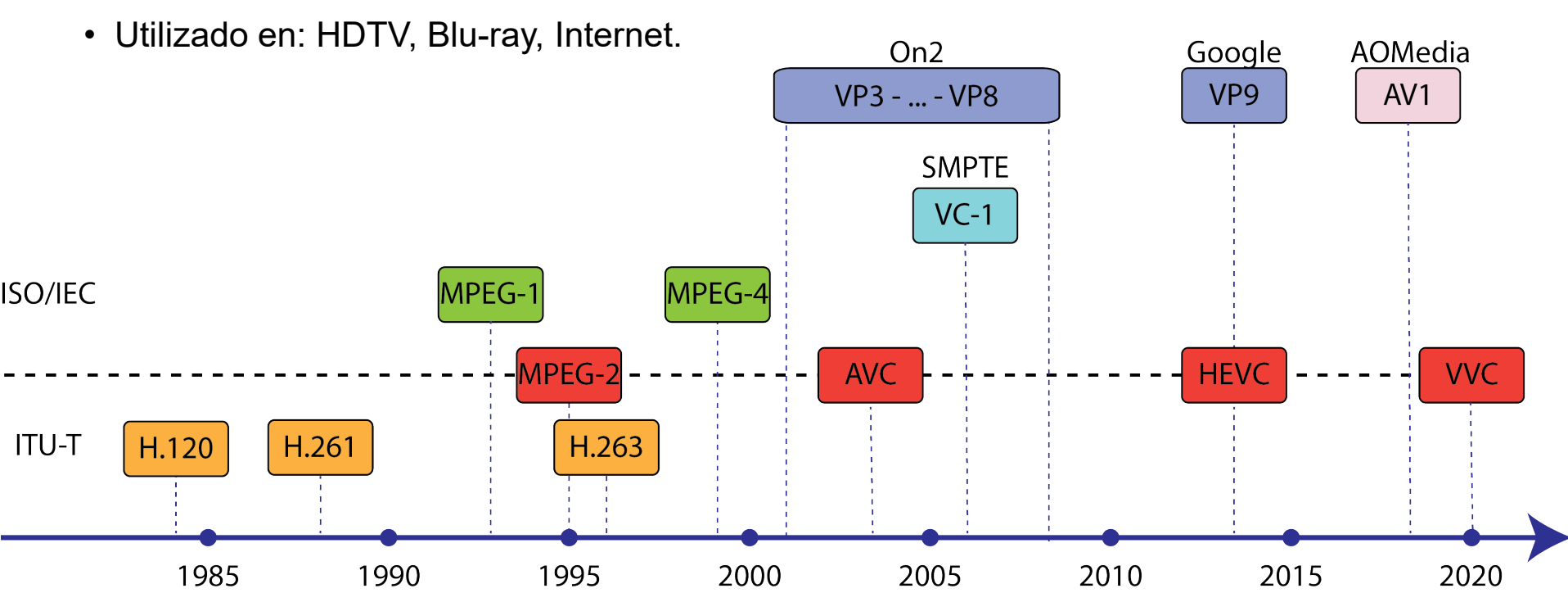




1.1. ¿Qué es AVC/H.264?

MPEG-4 – parte 10 / H.264 / AVC (2003):

- JCT-VC: Joint Collaborative Team on Video Coding
 - MPEG (ISO + IEC): Moving Picture Experts Group
 - VCEG (ITU-T): Video Coding Experts Group
- Niveles de compresión muy superiores a sus predecesores.





1.1. ¿Qué es AVC/H.264?

AVC → Advanced Video Coding

Es la una de las partes del estándar MPEG-4

- Su objetivo era mejorar la calidad/compresión de los codificadores previos:
 - Incorpora estrategias que habían sido excluidas de codificadores anteriores debido a su complejidad y su alto coste de implementación.
 - Utiliza las mismas etapas clave de codificadores anteriores: predicción, transformación y cuantificación.
 - Para evitar restricciones y dar más libertad a los algoritmos no contempla mantener la compatibilidad con codificadores anteriores.





1.1. ¿Qué es AVC/H.264?

MPEG-4:

- o Parte 1 → Sistema (1ª edición en 1999).
- Parte 2 → Visual (1999).
- Parte 3 → Audio (1999).
- Parte 4 → Pruebas de conformidad (2000).
- Parte 5 → Software de referencia (2000).
- 0 ...
- Parte 10 → AVC (2003) → Ha seguido en desarrollo (última versión: 14.0 22/08/2021)
- 0 ...
- \circ Parte 30 \rightarrow Timed text and other visual overlays (2014).





1.2. Aplicaciones

- AVC es un estándar que ofrece una gran flexibilidad, tanto en opciones de compresión como de transmisión.
- Es utilizado en numerosas aplicaciones de transporte y almacenamiento:
 - DVDs de alta definición (HD-DVD y Blu-Ray).
 - Televisión de alta definición en Europa (HDTV).
 - Numerosos productos de Apple: itunes, iPod, MacOs...
 - Televisión para móviles.
 - Vídeo por Internet.
 - Videoconferencias.
 - o Etc.





Predicción:

- Es mucho más flexible que en estándares anteriores.
- Modo intra con predicción (bloques de 16×16 o 4×4).
- Modo inter con macrobloques de múltiples tamaños: desde 16×16 hasta 4×4.
 - Las imágenes tipo B pueden ser usadas como predicción para otras imágenes.
- Nuevos tipos de imágenes (SP y SI).
- Precisión de ¹/₄ de píxel.

• Transformación y cuantificación:

- Se aplica sobre bloques de 8×8 o 4×4.
- Nuevos modos para recorrer las matrices de coeficientes.

Codificación:

 Ofrece la posibilidad de utilizar codificación de longitud variable (VLC) o codificación aritmética (CABAC).





- Su capacidad de compresión es muy superior a la de estándares previos:
 - Mejor calidad para una tasa binaria dada.
 - Menor tasa binaria para una calidad dada.
- El precio a pagar es un mayor coste computacional.







MPEG-2

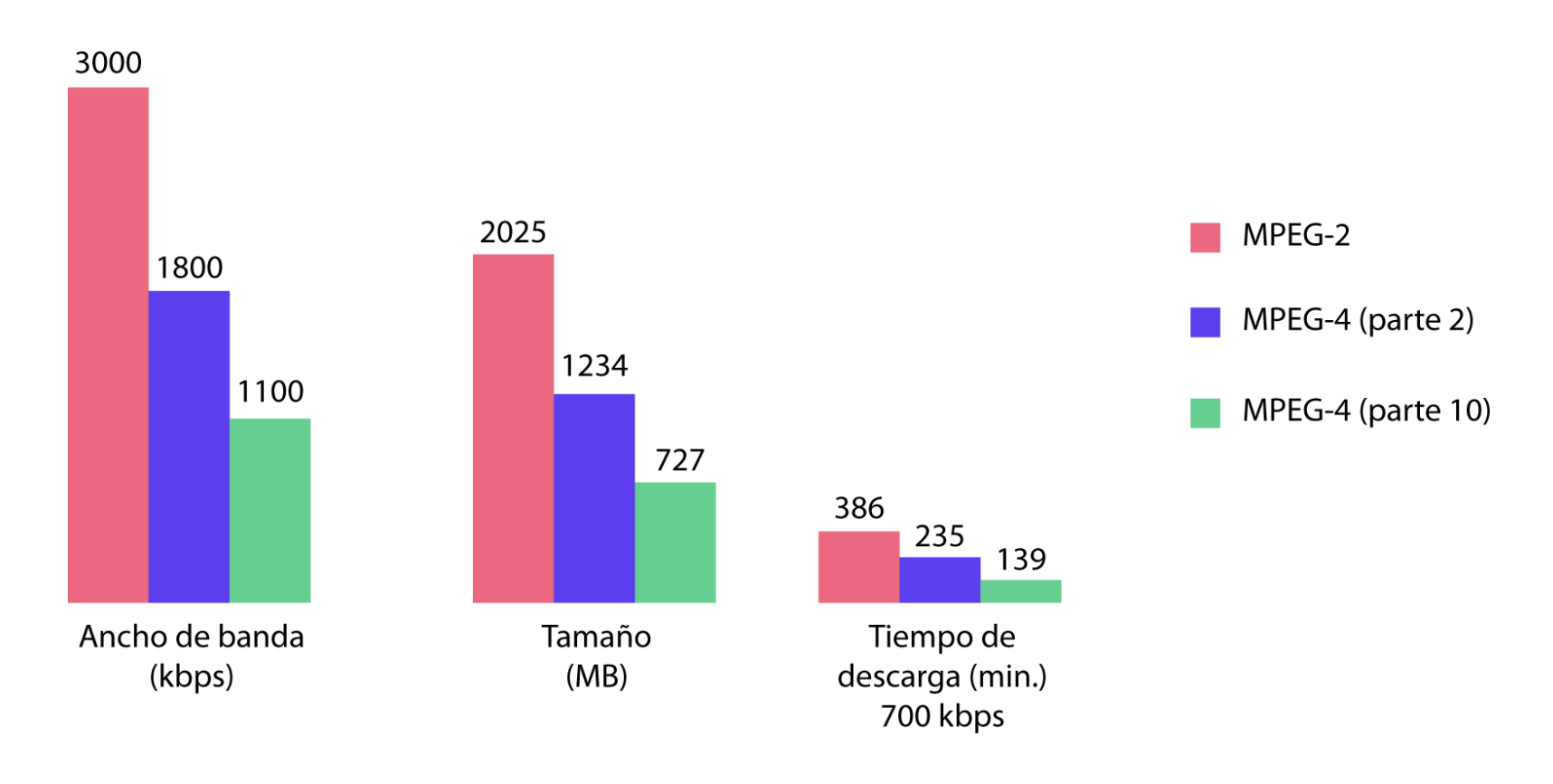
MPEG-4 (parte 2)

MPEG-4 (parte 10)





Comparación para una película de 90 minutos con calidad DVD







Características principales:

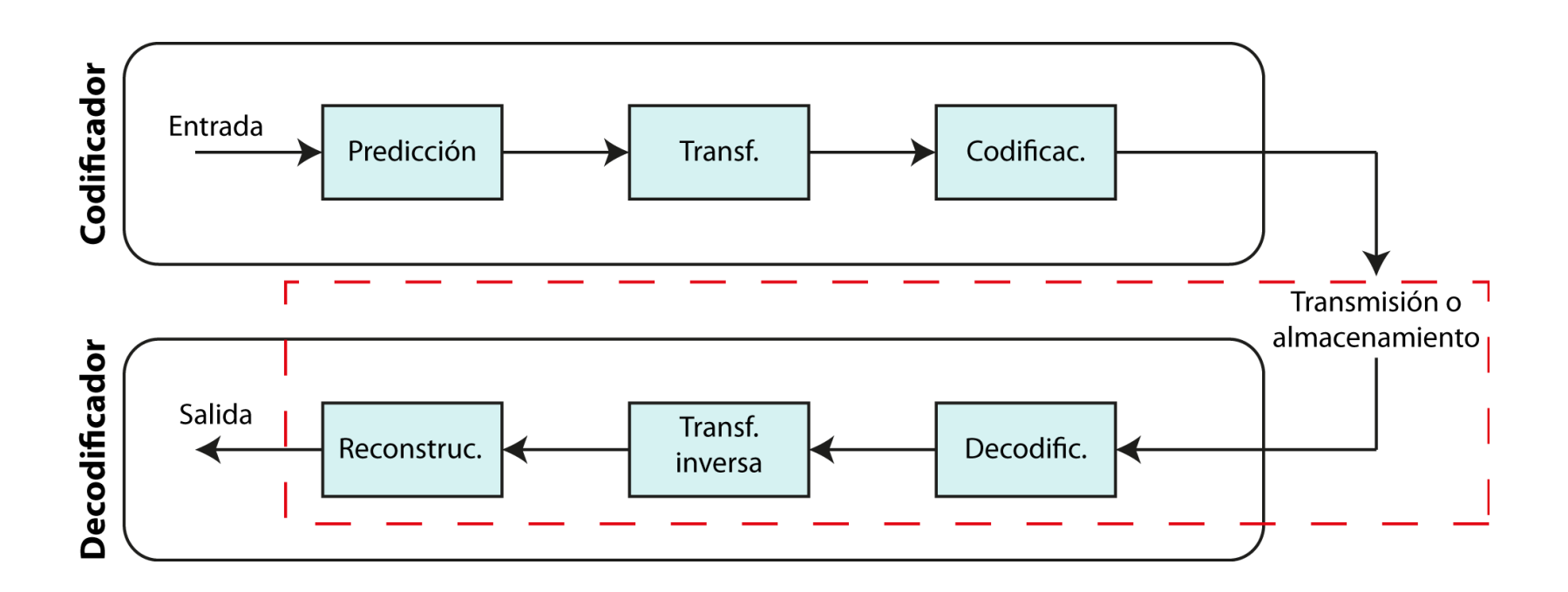
- La señal de entrada puede ser tanto progresiva como entrelazada.
- o Permite 3 esquemas de muestreo de crominancia:
 - **4:2:0**
 - **4**:2:2
 - **4**:4:4
- Permite utilizar 2 esquemas de color:
 - YCrCb
 - RGB
- o Es compatible con numerosas resoluciones, velocidades de refresco y velocidades binarias.
 - Desde QCIF (176×144) hasta UHD (8k 7680×4320).
 - Desde 15 fps hasta 60 fps.
 - Hasta 240 Mbps.





2. Codificador/decodificador

 Al igual que en los estándares previos, no se definen los detalles del codificador, sino que únicamente se define la sintaxis de los datos comprimidos y los métodos para decodificarlos.

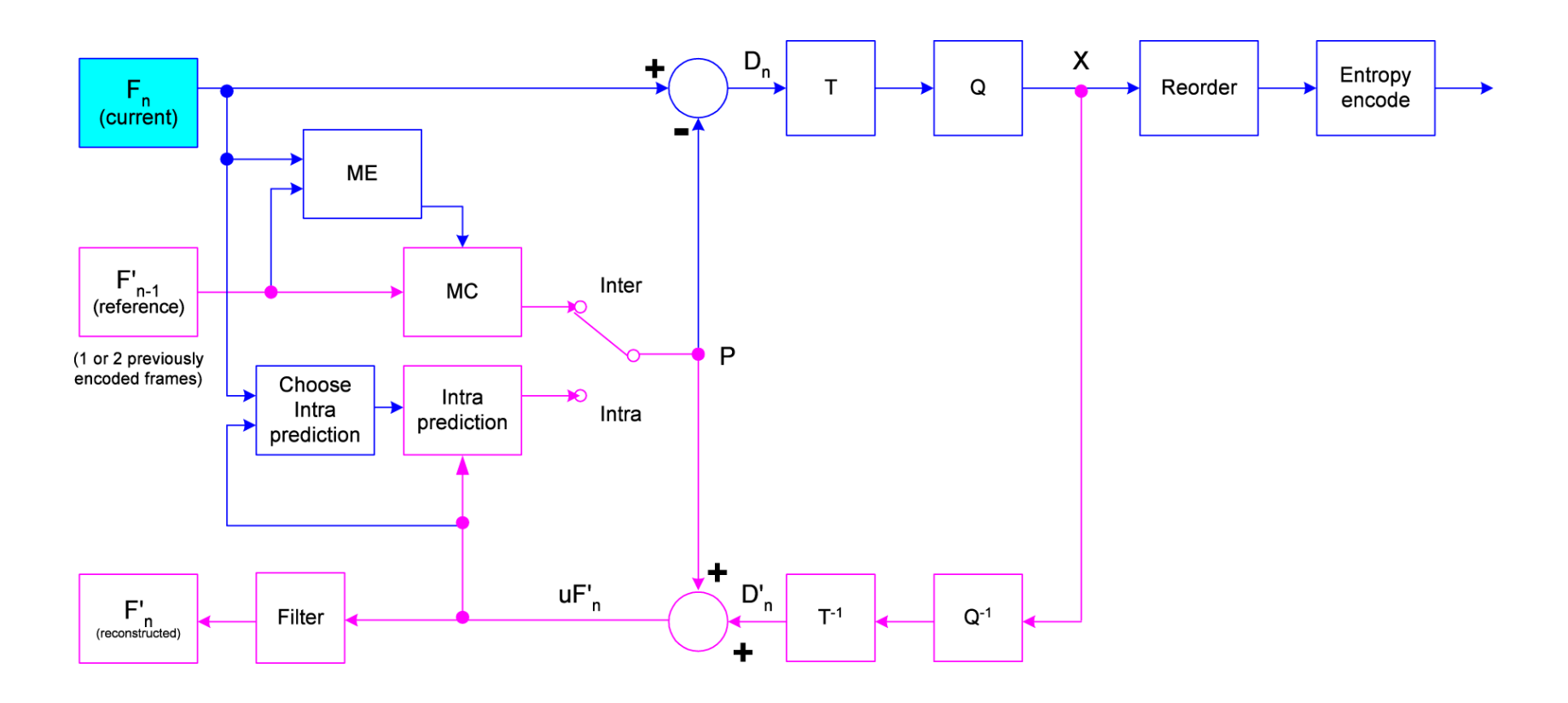






2. Codificador/decodificador

Codificador:

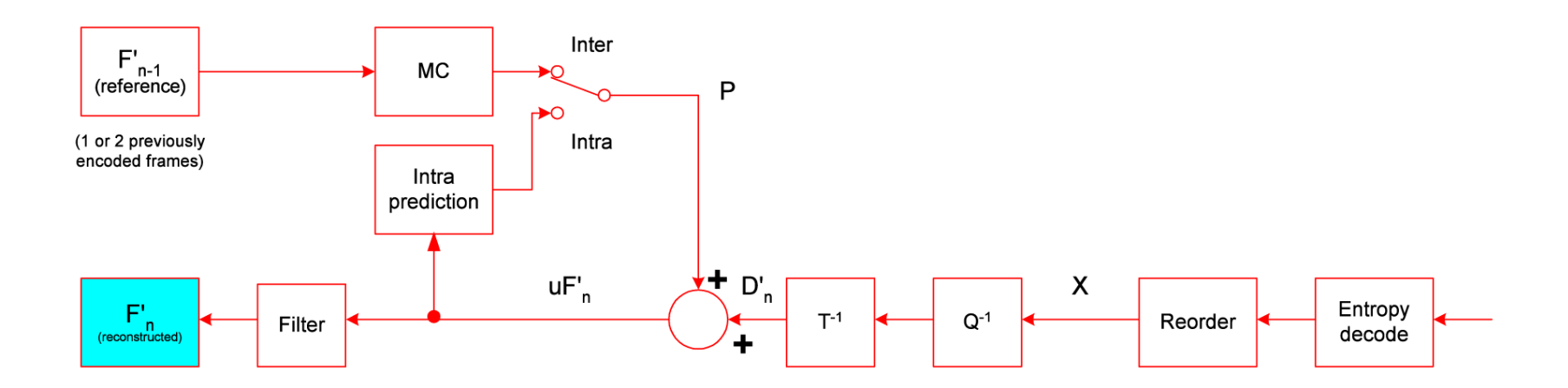






2. Codificador/decodificador

Decodificador:







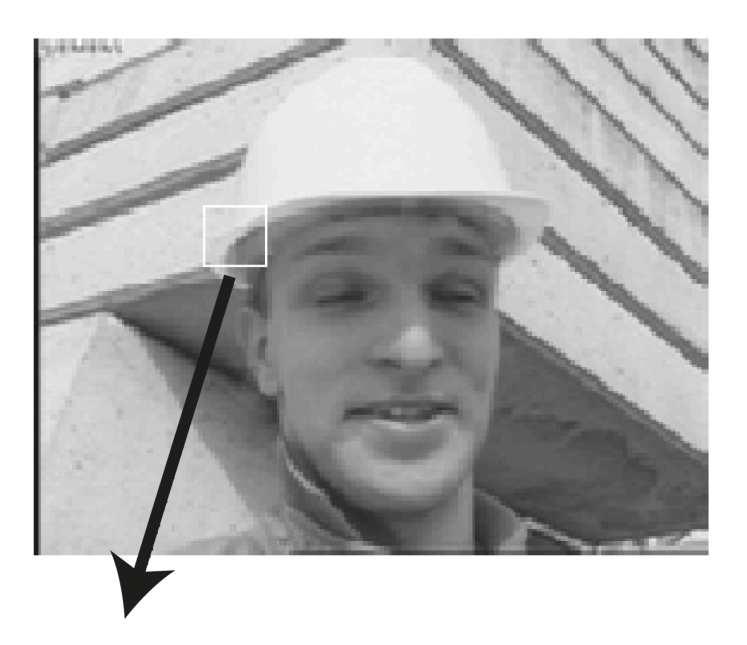
- Se puede utilizar en imágenes I, P y B.
- Un macrobloque codificado en modo intra puede utilizar como predicción otros macrobloques de la misma imagen.
- Los macrobloques de referencia son macrobloques previamente codificados y reconstruidos, pero sin haber pasado por el filtro de bucle.
- Sólo se pueden usar **datos de referencia también codificados en modo intra** y pertenecientes a la misma tira → Se reduce la propagación de errores.
- Para el caso de los macrobloques de luminancia hay dos opciones:
 - Predicción a partir de bloques de 4×4 muestras → 9 posibles modos de predicción.
 - Predicción a partir de bloques de 16×16 muestras → 4 posibles modos de predicción.
- Para el caso de los macrobloques de crominancia:
 - 4 posibles modos de predicción que se aplican siempre sobre bloques de 8×8 muestras.



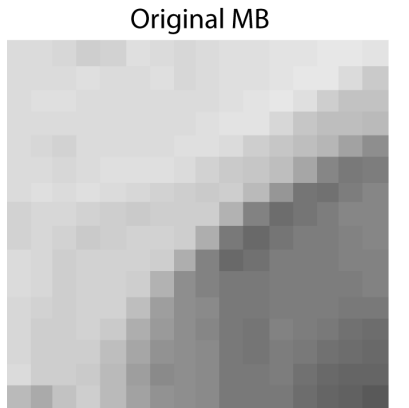
ADRIUM ADRIUM

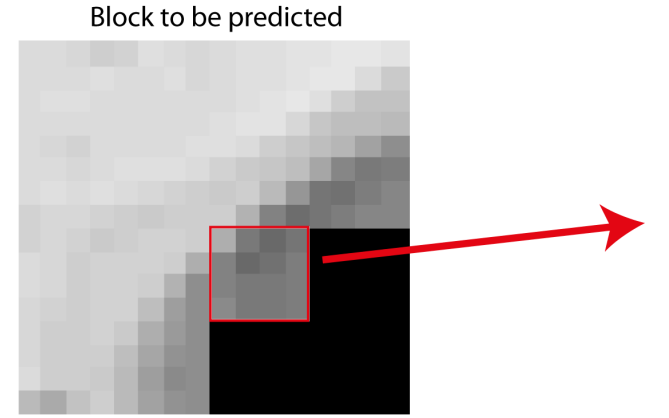
3.1. Predicción intra

Luminancia – Modos de predicción para bloques de 4×4 muestras:



- Los datos de referencia son muestras vecinas de bloques previamente codificados y reconstruidos.
- Estos datos siempre corresponden a bloques situados por encima y a la izquierda del bloque a predecir.

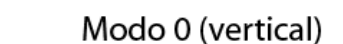


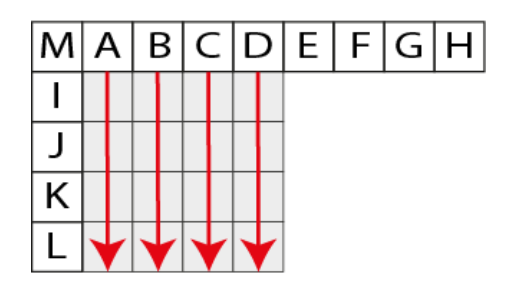


M	Α	В	C	D	Ε	F	G	Н
I	а	b	C	d				
J	e	f	g	h				
K	i	j	k	Ι				
L	m	n	0	р				

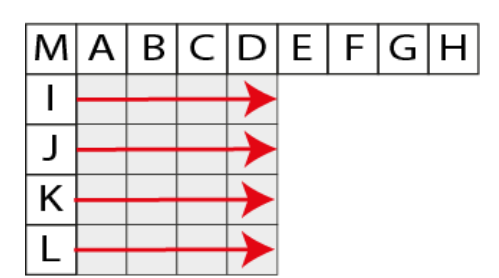


Luminancia – Modos de predicción para bloques de 4x4 muestras:

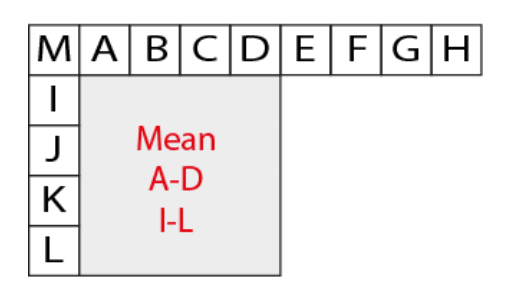




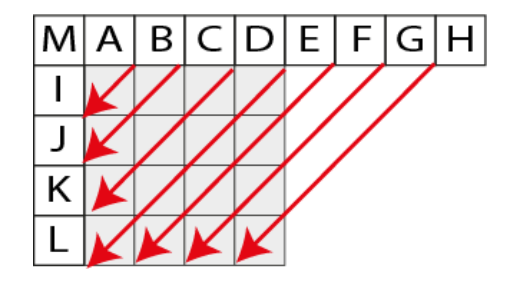
Modo 1 (horizontal)



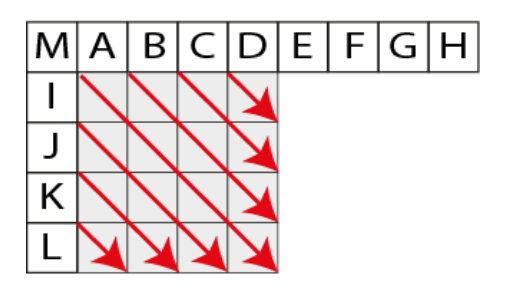
Modo 2 (DC)



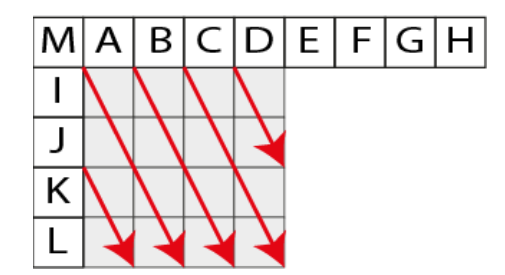
Modo 3 (diagonal down-left)



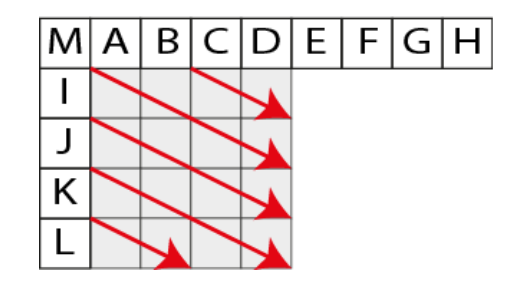
Modo 4 (diagonal down-right)



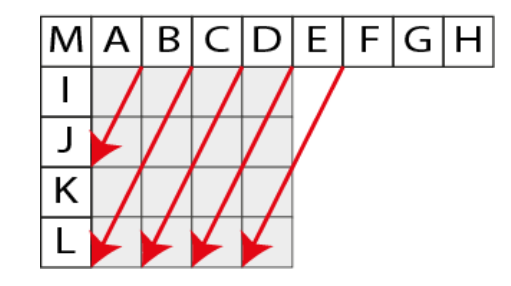
Modo 5 (vertical-right)



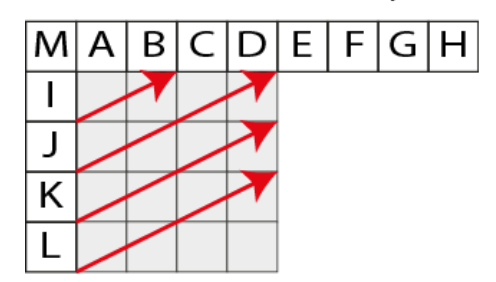
Modo 6 (horizontal-down)



Modo 7 (vertical-left)



Modo 8 (horizontal-up)

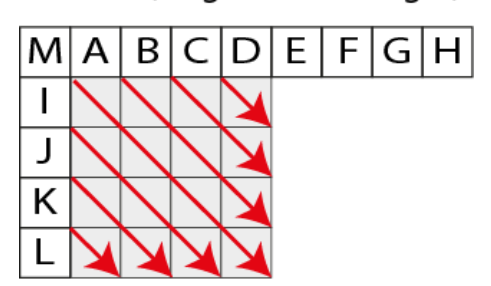






- Luminancia Modos de predicción para bloques de 4x4 muestras:
 - Ejemplo Modo 4:

Modo 4 (diagonal down-right)



M	Α	В	C	D	Ε	F	G	ŀ
I	a	b	c	d				
J	e	f	g	h				
K	i	j	k	I				
L	m	n	0	р				

Se requiere disponer de las muestras:

- A, B, C, D
- I, J, K, L
- M

$$a = \frac{I}{4} + \frac{M}{2} + \frac{A}{4}$$

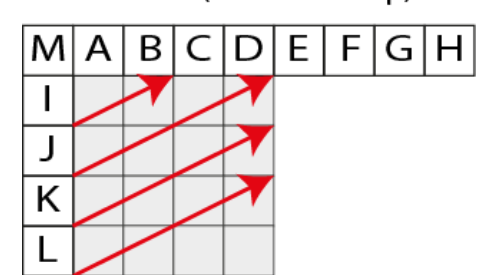
$$a = \frac{I}{4} + \frac{M}{2} + \frac{A}{4}$$
 $d = \frac{B}{4} + \frac{C}{2} + \frac{D}{4}$





- Luminancia Modos de predicción para bloques de 4x4 muestras:
 - Ejemplo Modo 8:

Modo 8 (horizontal-up)



M	Α	В	C	D	Ε	F	G	Ι
I	а	b	C	d				
J	e	f	g	h				
K	i	j	k	I				
L	m	n	O	р				

Se requiere disponer de las muestras:

• I, J, K, L

$$a = \frac{I}{2} + \frac{J}{2}$$

$$a = \frac{I}{2} + \frac{J}{2}$$
 $d = \frac{J}{4} + \frac{K}{2} + \frac{L}{4}$

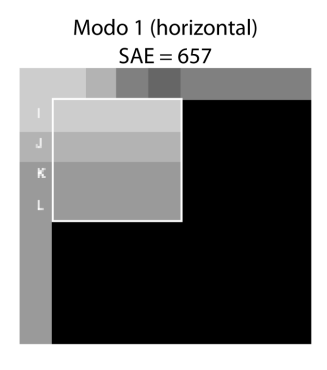


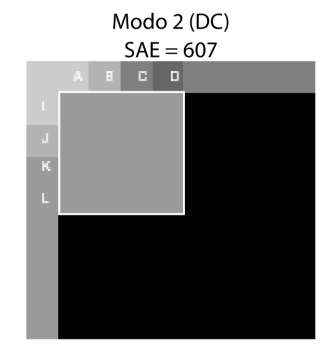


Luminancia – Modos de predicción para bloques de 4x4 muestras:

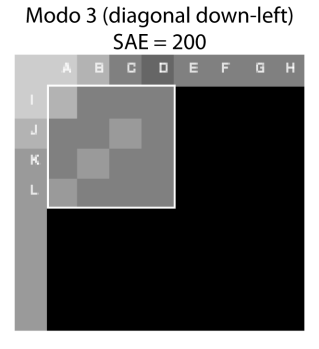
- Modo 0 (vertical)

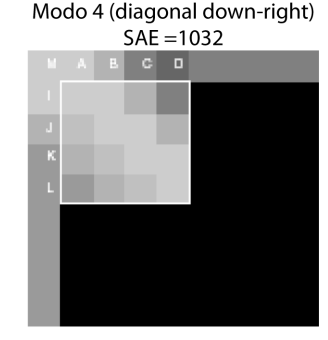
 SAE = 619
 - A B C D

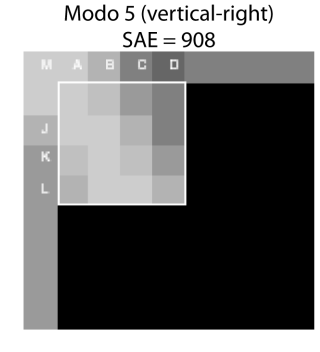




- Se selecciona el modo que minimice el SAE (Sum of Absotute Error).
- En el ejemplo mostrado el modo que minimiza dicho error es el 7.

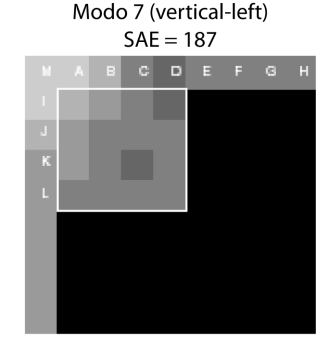






Modo 6 (horizontal-down) SAE = 939





SAE = 399

M A B C D E F G H

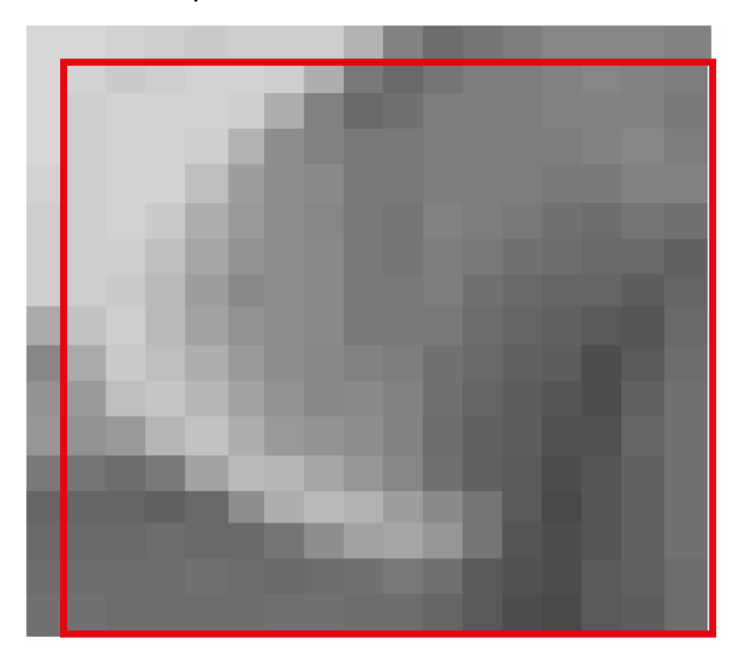
Modo 8 (horizontal-up)







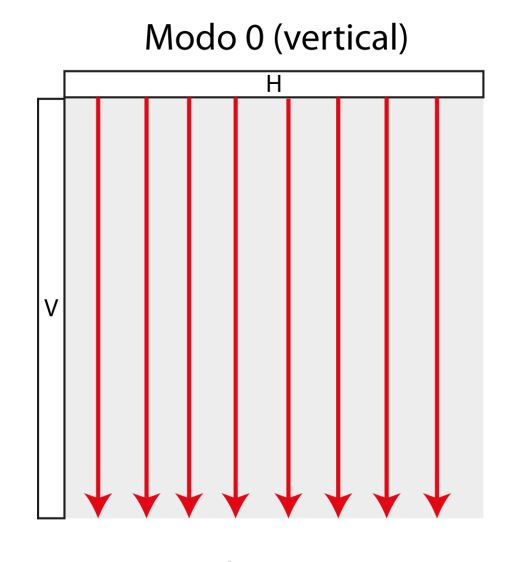
- Luminancia Modos de predicción para bloques de 16x16 muestras:
 - o Se consideran las 16x16 muestras de cada macrobloque.
 - o La forma de operar es similar a la del caso de bloques 4x4:
 - Se obtienen predicciones a partir de muestras situadas inmediatamente sobre al macrobloque o a su izquierda.
 - Estas muestras han debido ser codificadas y reconstruidas previamente.
 - o En este caso sólo hay 4 posibles modos de predicción.

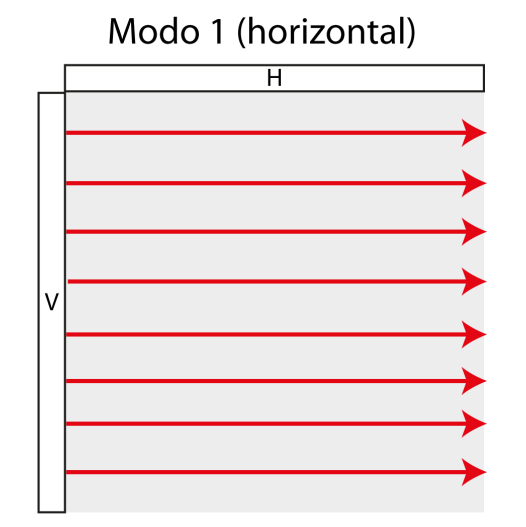






Luminancia – Modos de predicción para bloques de 16x16 muestras:



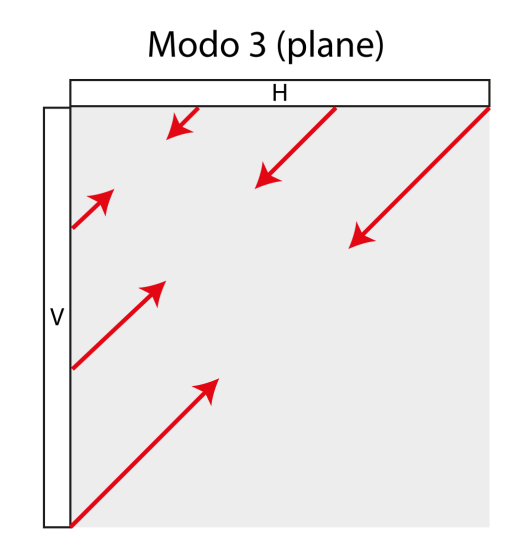


- o Modo 0 (vertical) → Extrapolación desde las muestras horizontales.
- o Modo 1 (horizontal) → Extrapolación desde las muestras verticales.

Modo 2 (DC)

H

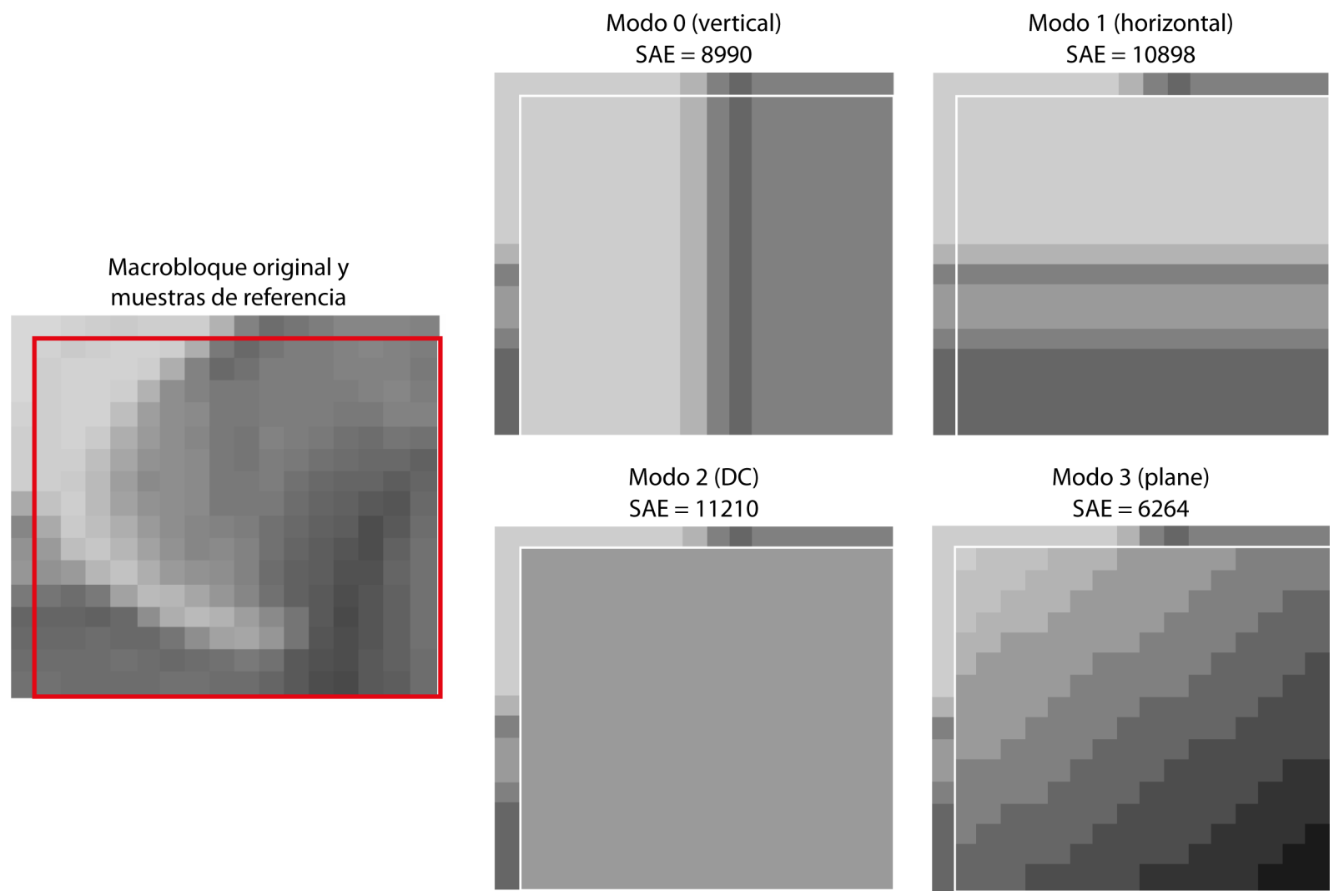
Wean
H+V



- o Modo 2 (DC) → Media de los valores de todas las muestras horizontales y verticales.



• Luminancia – Modos de predicción para bloques de 16x16 muestras:







- Crominancia Modos de predicción para bloques de 8x8 muestras:
 - Se aplica siempre sobre bloques de 8x8 muestras.
 - o Al igual que en el caso de la luminancia, se utilizan como referencia las muestras (codificadas y reconstruidas) situadas encima y a la izquierda del bloque a predecir.
 - Se utilizan 4 modos similares a los usados para los bloques de 16x16 muestras de luminancia. La única diferencia es el orden de los modos:
 - Modo 0 (DC).
 - Modo 1 (horizontal).
 - Modo 2 (vertical).
 - Modo 3 (plano).
 - Siempre que se aplique predicción intra a un macrobloque, deberá aplicarse tanto a las muestras de luminancia
 como a las muestras de crominancia.





- Se aplica sobre imágenes tipo P y tipo B.
 - o A diferencia de codificadores previos, AVC permite usar imágenes B como referencia para las predicciones.
- Se permite el uso de macrobloques de múltiples tamaños (desde 16x16 hasta 4x4):
 - o Bloques pequeños en zonas de más movimiento.
 - o Bloques grandes en zonas con poco movimiento.
 - Hay que tener en cuenta que si se usan bloques más pequeños se incrementa el número de vectores de movimiento que transmitir.
- Se ofrece la posibilidad de realizar la estimación de movimiento con precisión de ¼ de píxel:
 - Mayor coste computacional.
 - o Mayor número de bits para representar a los vectores.
 - o Menor error de predicción.
- La codificación de los vectores de movimiento se realiza de forma diferencial.





- Estructura en árbol de macrobloques:
- Cada macrobloque de 16x16 muestras puede ser dividido de 4 formas distintas:

	16x16
M types	0

16x8			
0			
0			
1 1			

8x16					
0	1				

8x8					
0	1				
2	3				

• El modelo de 8x8 puede volver a ser dividido de 4 posibles modos:

8x8 types 0

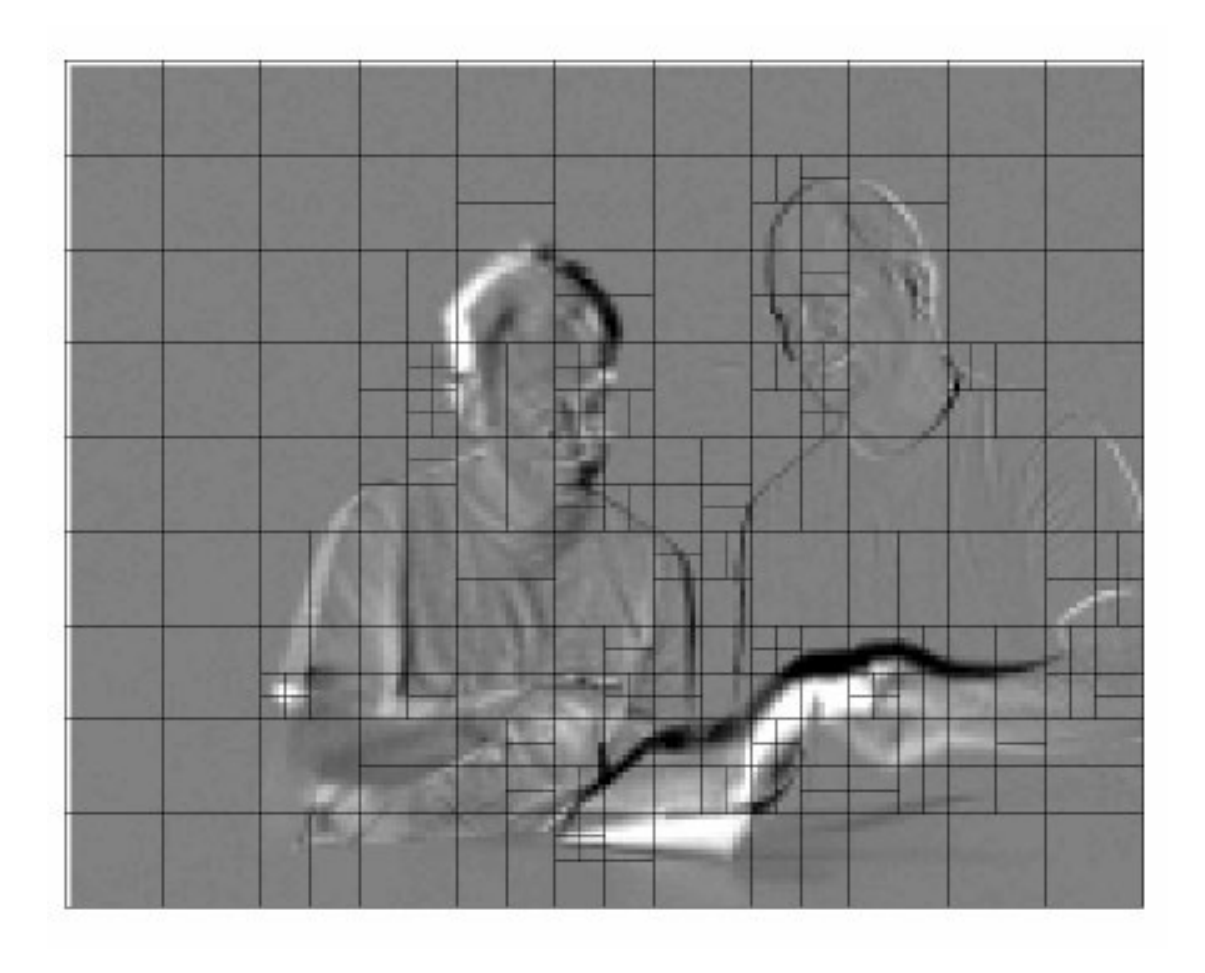
8x4				
0				
	1			
1				
	_			

4x8				
0	1			





Estructura en árbol de macrobloques:



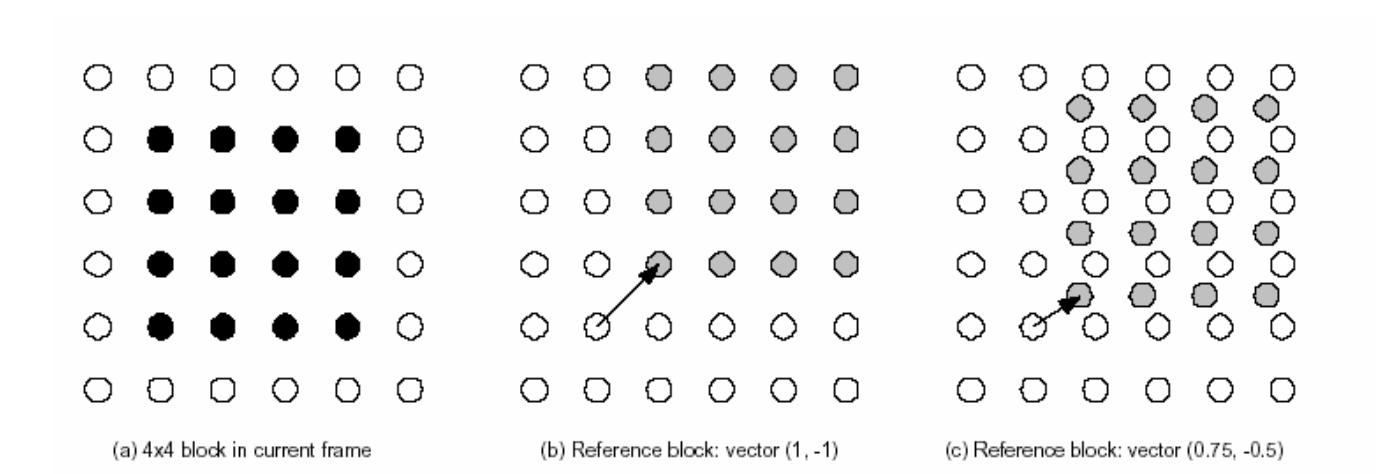
- Se analiza el error de predicción sin aplicar compensación de movimiento:
 - Se asignan MBs grandes a las regiones con menos movimiento.
 - Se asignan MBs pequeños a las regiones con más variaciones.
- La partición mostrada es la decisión que proporciona el mejor compromiso entre error de predicción y número de vectores de movimiento.



adrid

3.2. Predicción inter

- Vectores de movimiento precisión a nivel de subpíxel:
 - o En una primera etapa se generan muestras de referencia con precisión de ½ píxel:
 - A partir de muestras de referencia con precisión de píxel → Se utiliza un filtro FIR.
 - o En una segunda etapa se generan muestras de referencia con precisión de ¼ píxel:
 - A partir de muestras de referencia con precisión de píxel.
 - A partir de las muestras con precisión de ½ píxel obtenidas en la primera etapa.
 - Se reduce el error de predicción, pero aumenta el coste computacional y el número de bits necesarios para representar los vectores (2 bits más por componente).







Vectores de movimiento – precisión a nivel de subpíxel:

- aa

В

- C
- bb D

- o Precisión de medio píxel:
 - Se aplica un filtro FIR de componentes:

Filtrado horizontal y vertical:

- Ε
- F

dd

- G
- b
- Н

- cc
- m

- ee
- ff

- Κ
 - L
- Μ
- Ν

S

- Q

$$b = \frac{E - 5F + 20G + 20H - 5I + J}{32}$$

$$h = \frac{A - 5C + 20G + 20M - 5R + T}{32}$$

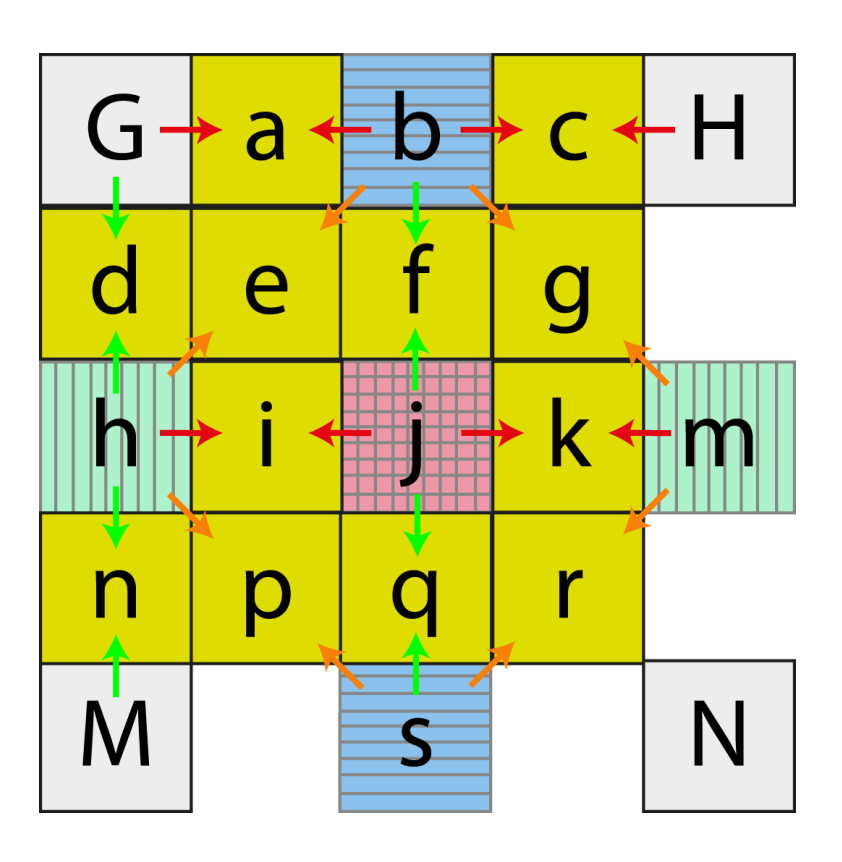
- R

Filtrado diagonal:

$$j = \frac{cc - 5dd + 20h + 20m - 5ee + ff}{32}$$



Vectores de movimiento – precisión a nivel de subpíxel:



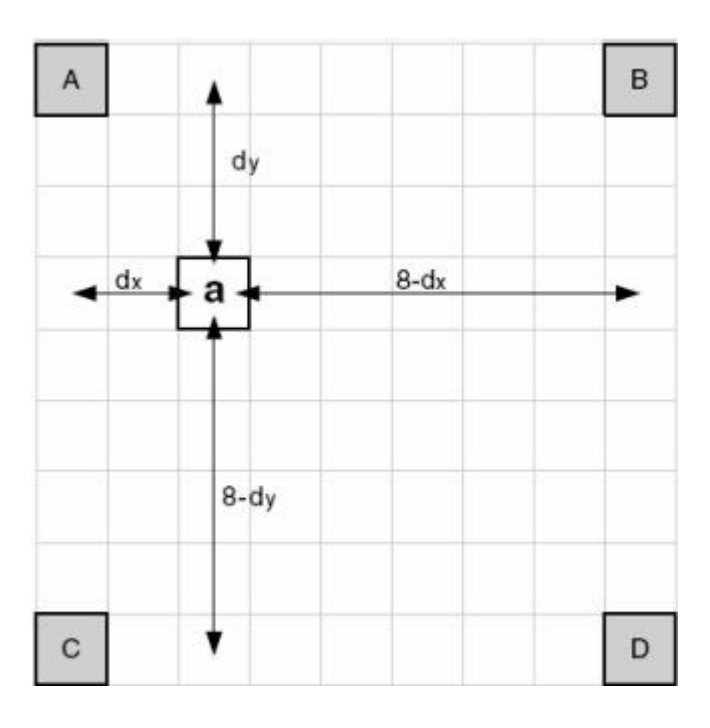
o Precisión de ¼ píxel:

- Media de las 2 muestras más próximas.
- En el caso de las medias en "diagonal" se utilizan únicamente las muestras con precisión de ½ píxel obtenidas mediante un único filtrado (en el ejemplo, la muestra 'j' no se utiliza).





Vectores de movimiento – precisión a nivel de subpíxel:



o Crominancia:

- Se aplica una interpolación bilineal a partir de muestras de crominancia de precisión entera.
- Si se usa muestreo 4:2:0 o 4:1:1, las muestras de crominancia tendrán menor resolución espacial → La precisión de las muestras de crominancia interpoladas podrá ser de hasta 1/8.





4. Imágenes SP y SI

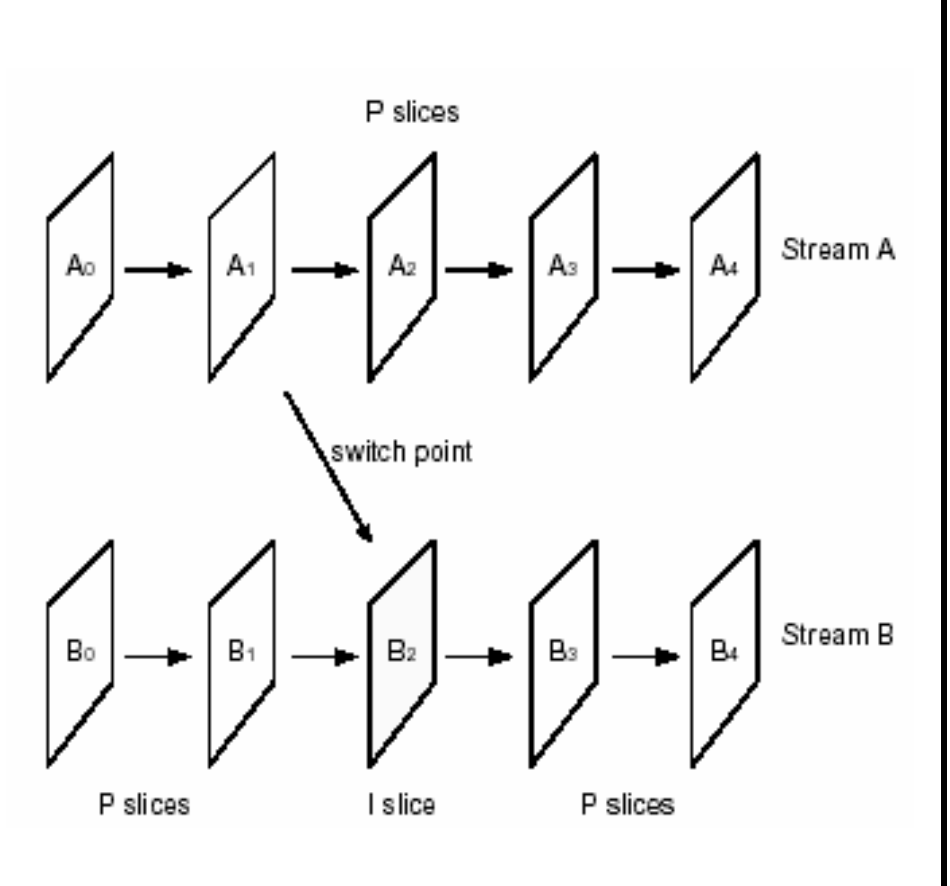
- **SP** → Switching P → Predicción con estimación y compensación de movimiento.
- SI → Switching I → Predicción intra 4x4.
- Permiten al descodificador la conmutación eficiente entre distintos flujos de vídeo.
 - <u>Ejemplo</u>: Se tiene un vídeo codificado con distintas tasas binarias y se transmite por Internet.
 El descodificador podrá ir saltando de un flujo a otro para adaptarse a la ocupación de la red.
- Hasta ahora esto sólo podía hacerse mediante las imágenes de tipo I:
 - ✓ Eran las únicas que podían descodificarse sin utilizar información de otras imágenes.
 - ★Incrementan muy notablemente la tasa binaria → Posibles retardos y pérdidas en el proceso de conmutación entre flujos.



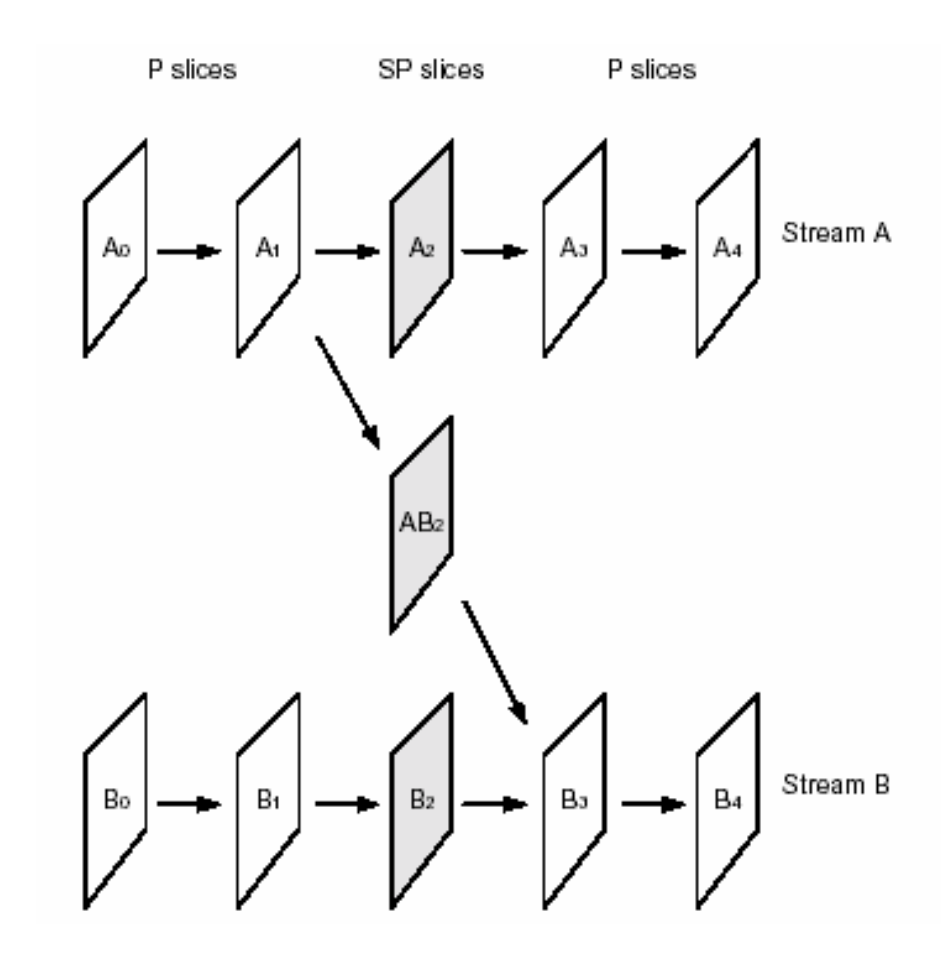
id N

4. Imágenes SP y SI





Cambio de flujo utilizando imágenes tipo SP o SI

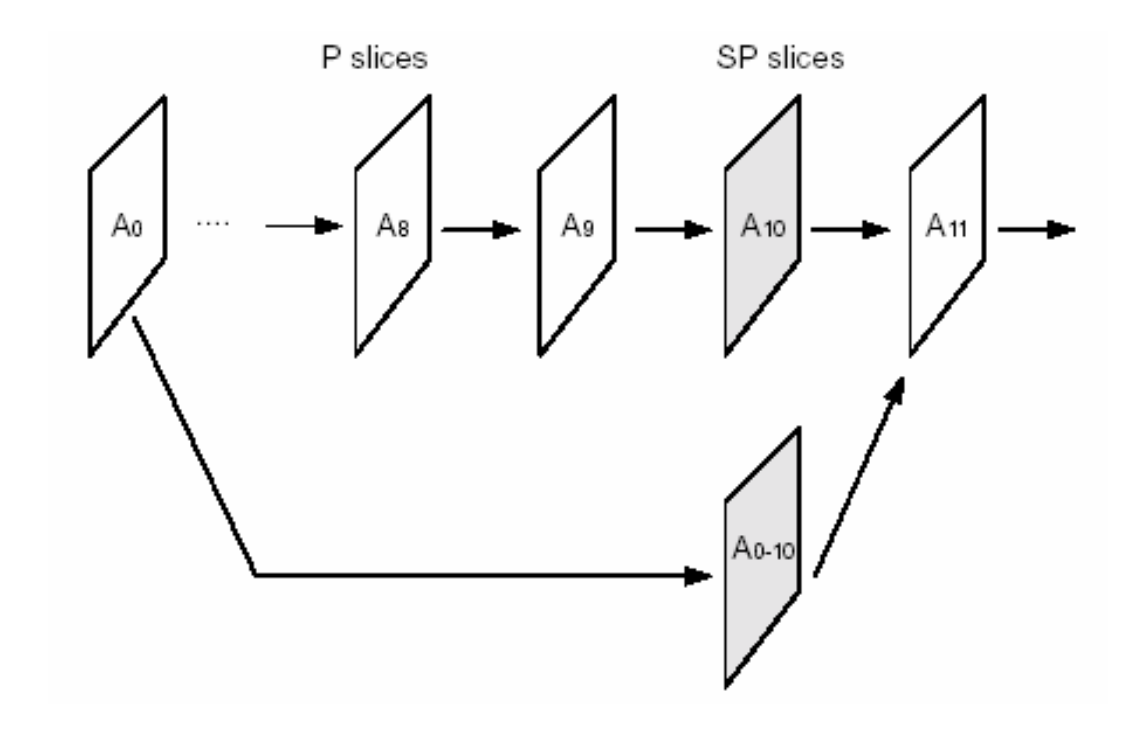






4. Imágenes SP y SI

Avance rápido y acceso aleatorio





D*D

5. Transformación y cuantificación

- En los estándares anteriores se utiliza la transformada DCT bidimensional aplicada sobre bloques de 8x8 muestras.
- AVC utiliza 3 tipos de transformadas, dependiendo del tipo de datos que se esté codificando:
 - <u>Transformada similar a la DCT (transformación principal)</u> → Se aplica sobre bloques de 4x4 muestras (todas las muestras).
 - o <u>Transformada Hadamard 4x4</u>→ Se aplica sobre matrices de 4x4 muestras DC de luminancia.
 - <u>Transformada Hadamard 2x2</u> → Se aplica sobre matrices de 2x2 muestras DC de crominancia.
- En el caso de que los macrobloques tengan tamaños distintos a 16x16 muestras de luminancia (4x8, 8x4, 8x8, 16x8, etc.) se aplican pequeñas variaciones sobre estas 3 transformadas.
- En los perfiles altos también se permite el uso de transformadas de 8x8 muestras.

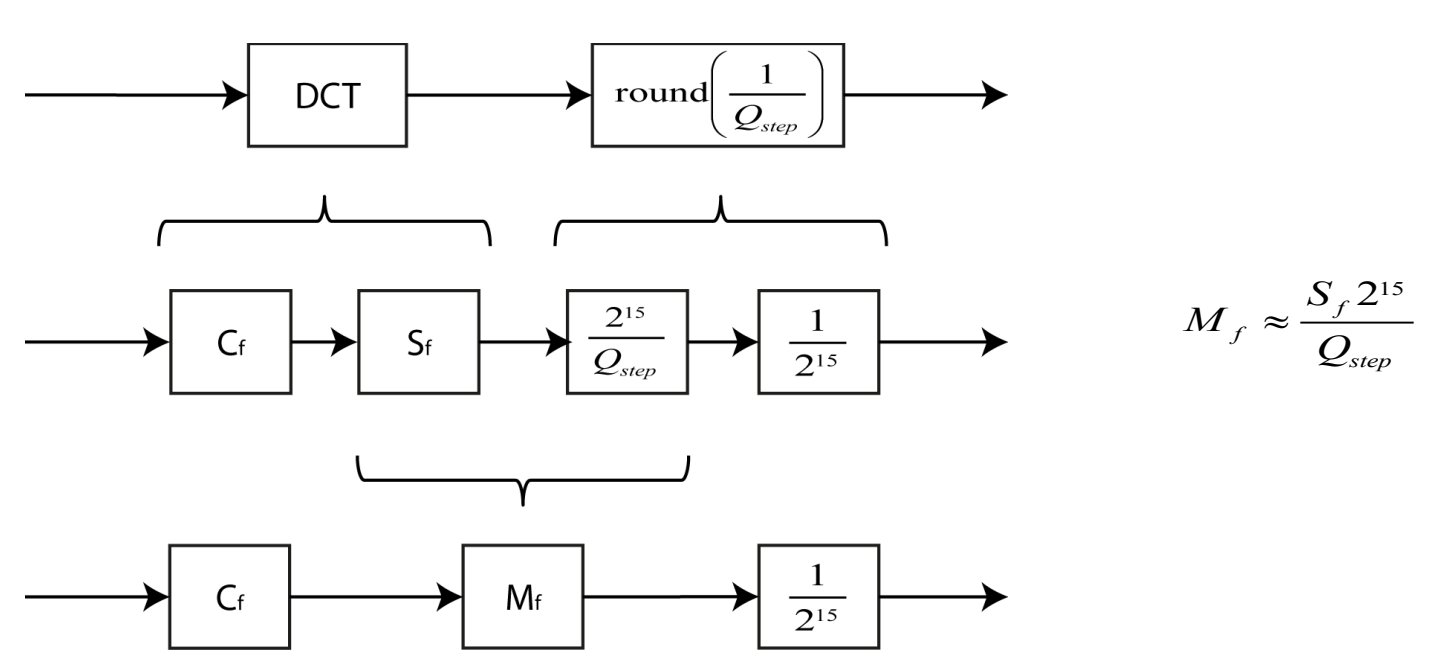




5. Transformación y cuantificación

Transformación principal:

- Se utiliza una versión escalada de la DCT → El objetivo es utilizar valores enteros para:
 - Reducir la complejidad de los cálculos.
 - Evitar pérdidas por errores de redondeo.
- o Se consigue mediante una reestructuración de los procesos de transformación y cuantificación.







5. Transformación y cuantificación

• Transformación principal:

o Supongamos una matriz de 4x4 muestras, **X**. Su DCT bidimensional se puede calcular como:

$$\mathbf{Y} = \mathbf{A} \cdot \mathbf{X} \cdot \mathbf{A}^{\mathrm{T}} \qquad \mathbf{A} = \begin{bmatrix} a & a & a & a \\ b & c & -c & -b \\ & & & \\ a & -a & -a & a \\ c & -b & b & -c \end{bmatrix} \qquad \begin{aligned} a &= \frac{1}{2} \\ b &= \sqrt{\frac{1}{2}} \cos\left(\frac{\pi}{8}\right) \\ c &= \sqrt{\frac{1}{2}} \cos\left(\frac{3\pi}{8}\right) \end{aligned}$$

- Este cálculo requiere redondear números irracionales → Alto coste.
- \circ AVC propone aplicar un factor de escala (2.5) y redondear al entero más próximo. De este modo la matriz **A** se convierte en la matriz **C**_f:

$$\mathbf{C_f} = \begin{pmatrix} 1 & 1 & 1 & 1 \\ 2 & 1 & -1 & -2 \\ & & & \\ 1 & -1 & -1 & 1 \\ 1 & -2 & 2 & -1 \end{pmatrix}$$





Transformación principal:

○ Las filas de la matriz de transformación tienen distintas normas → hay que escalarlas para que sean normales y mantener la propiedad de ortonormalidad:

$$\mathbf{A} = \mathbf{C_f} * \mathbf{R_f}$$

$$\mathbf{R_f} = \begin{pmatrix} \frac{1}{2} & \frac{1}{2} & \frac{1}{2} & \frac{1}{2} \\ \frac{1}{\sqrt{10}} & \frac{1}{\sqrt{10}} & \frac{1}{\sqrt{10}} & \frac{1}{\sqrt{10}} \\ \frac{1}{2} & \frac{1}{2} & \frac{1}{2} & \frac{1}{2} \\ \frac{1}{\sqrt{10}} & \frac{1}{\sqrt{10}} & \frac{1}{\sqrt{10}} & \frac{1}{\sqrt{10}} \end{pmatrix}$$

o Por lo tanto:

$$\mathbf{Y} = (\mathbf{C_f} * \mathbf{R_f}) \cdot \mathbf{X} \cdot (\mathbf{C_f}^T * \mathbf{R_f}^T)$$

$$\mathbf{Y} = (\mathbf{C_f} \cdot \mathbf{X} \cdot \mathbf{C_f}^T) * (\mathbf{R_f} * \mathbf{R_f}^T)$$

$$\mathbf{Y} = (\mathbf{C_f} \cdot \mathbf{X} \cdot \mathbf{C_f}^T) * \mathbf{S_f}$$

$$\mathbf{S_f} = \begin{pmatrix} \frac{1}{4} & \frac{1}{2\sqrt{10}} & \frac{1}{4} & \frac{1}{2\sqrt{10}} \\ \frac{1}{2\sqrt{10}} & \frac{1}{10} & \frac{1}{2\sqrt{10}} & \frac{1}{10} \\ \frac{1}{4} & \frac{1}{2\sqrt{10}} & \frac{1}{4} & \frac{1}{2\sqrt{10}} \\ \frac{1}{2\sqrt{10}} & \frac{1}{10} & \frac{1}{2\sqrt{10}} & \frac{1}{10} \end{pmatrix}$$





- Transformación principal:
 - Escalado + cuantificación:

$$\mathbf{Z}_{i,j} = \mathbf{Y}_{i,j} * \text{round} \left(\frac{\mathbf{S}_{\mathbf{f}}}{Q_{step}} \right)$$

 \circ El estándar define un total de 52 posibles valores para Q_{step} .



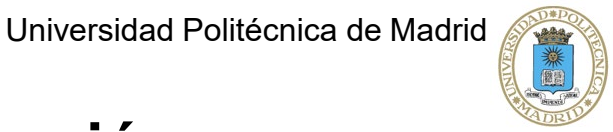


Transformación DC:

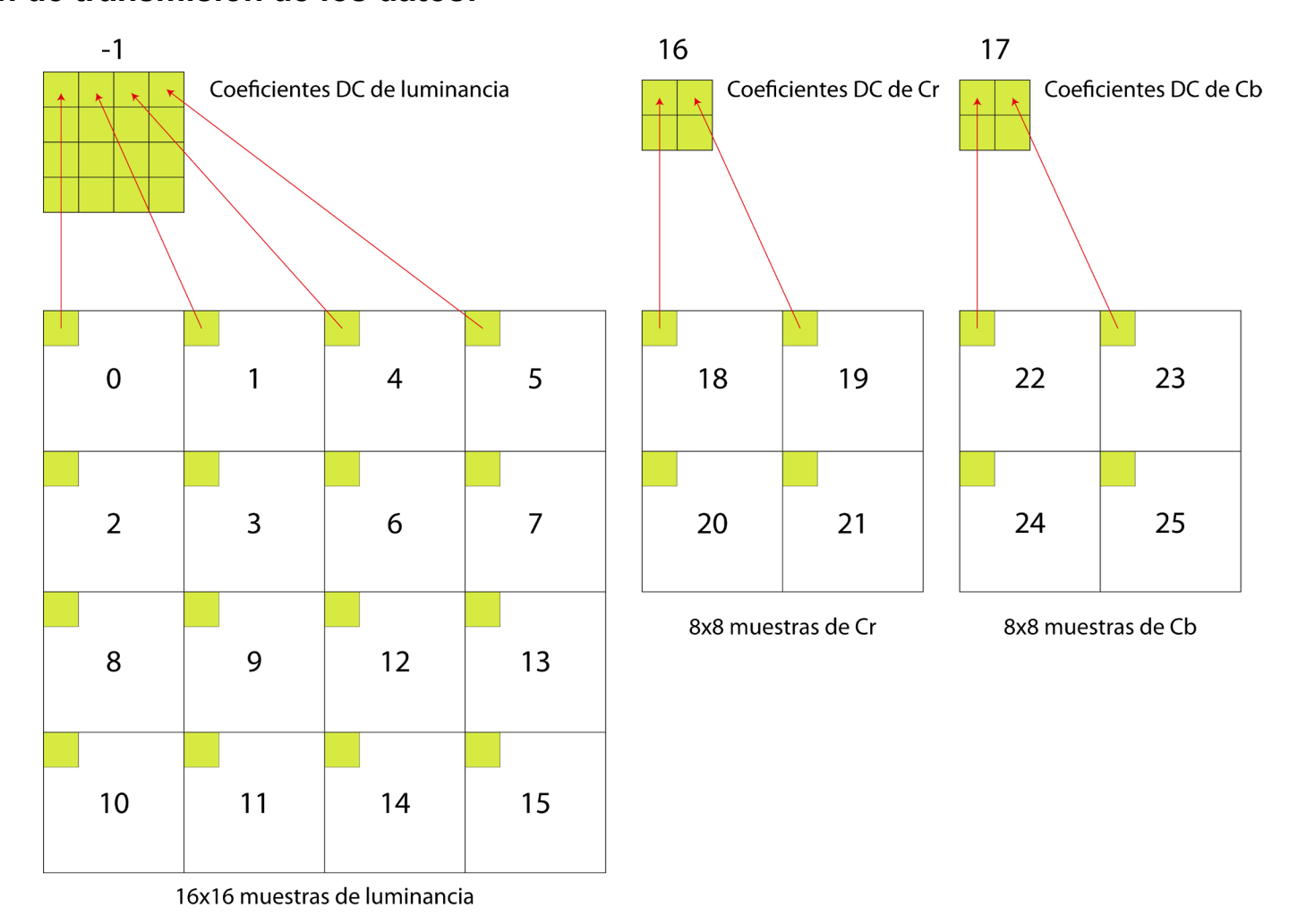
- Además de la transformación vista anteriormente, se les aplica otra adicional.
- Esta transformación adicional ayuda a explotar la gran correlación existente entre los DC de los distintos bloques.
- A cada bloque se le aplica la siguiente transformación:

$$\mathbf{Y}_{\mathbf{D}} = \begin{pmatrix} 1 & 1 \\ & \\ 1 & -1 \end{pmatrix} \cdot \mathbf{W}_{\mathbf{D}} \cdot \begin{pmatrix} 1 & 1 \\ & \\ 1 & -1 \end{pmatrix}$$





Orden de transmisión de los datos:







• ¿Por qué utilizar bloques de 4x4?:

- o La predicción en AVC es mucho mejor que en algoritmos previos → Las imágenes de error tienen menor correlación espacial → La correlación existente se aprovecha igual de bien con matrices de tamaño 4x4 que con matrices de tamaño 8x8.
- Se reduce el efecto de bloques, ya que las variaciones debidas a cuantificaciones más groseras se notan menos cuanto más pequeños son los bloques.
- o El coste computacional y la complejidad es menor que en codificadores previos:
 - Codificadores anteriores → Aritmética de 32 bits.
 - AVC → Aritmética de 16 bits.





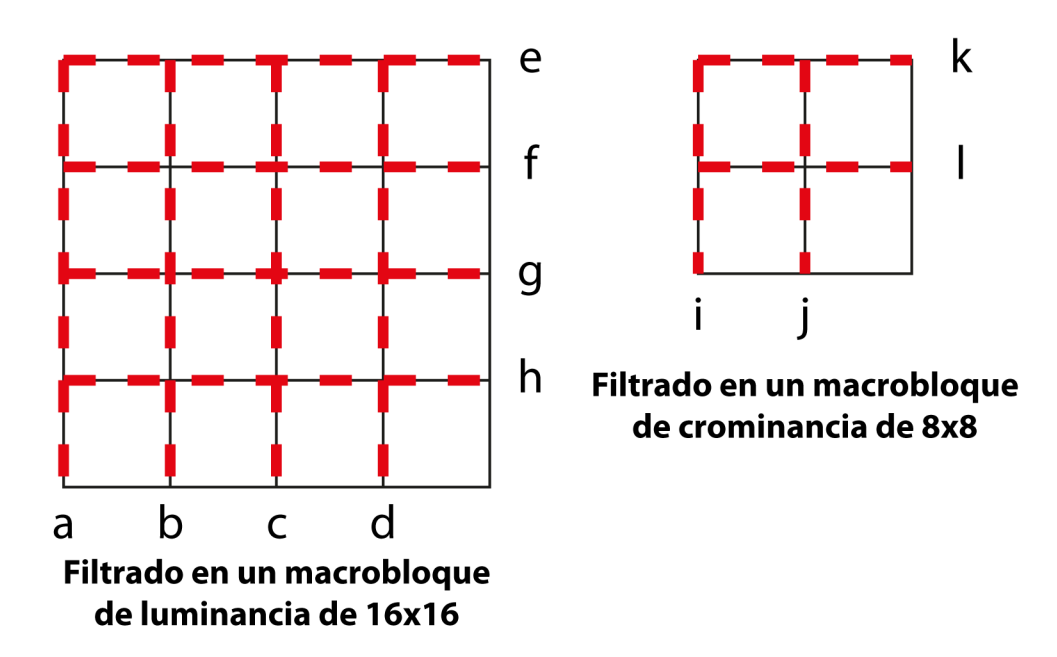
- El objetivo del filtro es reducir la distorsión introducida en la cuantificación.
- Se aplica sobre bloques de 4x4 muestras previamente codificados y descodificados, antes de ser almacenados para su posible utilización en la predicción de las siguientes imágenes codificadas.
 - o Se aplica tanto en el codificador como en el descodificador.
- A diferencia que en estándares previos:
 - o Se aplica antes de realizar la estimación y compensación de movimiento.
 - o Es de inclusión obligatoria.
- Aporta dos beneficios:
 - o Al reducir el efecto de bordes entre bloques mejora la apariencia de las imágenes descodificadas, especialmente cuando se aplican altos grados de compresión (cuantificación más grosera).
 - Al realizarse la estimación y compensación sobre macrobloques con bloques filtrados el resultado de la predicción es de mayor calidad.





Orden de filtrado:

- Se aplica sobre las fronteras horizontales y verticales de bloques de tamaño 4x4 dentro de cada macrobloque.
 - 1. Filtrado vertical de las fronteras entre bloques de luminancia → Fronteras a, b, c y d.
 - 2. Filtrado horizontal de las fronteras entre bloques de luminancia → Fronteras e, f, g y h.
 - 3. Filtrado vertical de las fronteras entre bloques de crominancia → Fronteras i y j.
 - 4. Filtrado horizontal de las fronteras entre bloques de crominancia → Fronteras k y I.



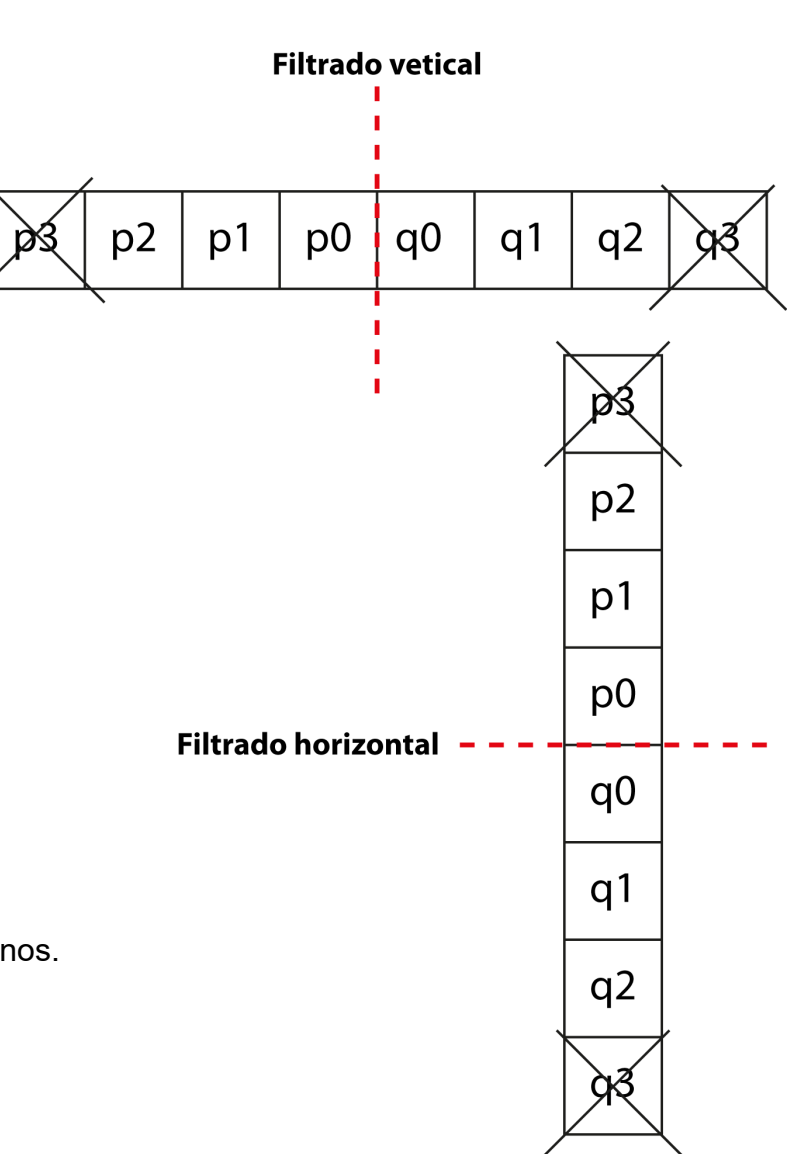




Modo de aplicación:

- Cada operación de filtrado afecta a distinto número de muestras:
 - Desde ninguna.
 - Hasta un máximo de 3 a cada lado del borde:
 - ☐ En el ejemplo: p2, p1, p0, q0, q1 y q2 darían lugar a P2, P1, P0, Q0, Q1 y Q2.

- o Se utilizan más o menos muestras en función de:
 - El cuantificador utilizado.
 - Los modos de codificación utilizados en los bloques vecinos.
 - Los valores de gradiente a lo largo del borde.





Tipos de filtrado:

 El bloque p o el q han sido codificados en modo intra. El borde a filtrar es una frontera entre macrobloques 	Bs = 4 (filtrado más robusto)
 El bloque p o el q han sido codificados en modo intra. El borde a filtrar no es una frontera entre macrobloques 	Bs = 3
 Ni el bloque p ni el q han sido codificados en modo intra. El bloque p o el q contienen coeficientes codificados (trans-cuant). 	Bs = 2
 Ni el bloque p ni el q han sido codificados en modo intra. Ni el bloque p ni el q contienen coeficientes codificados. Los bloques p y q tienen: distintas imágenes de referencia, o distinto número de imágenes de referencia o distintos valores de vectores de movimiento. 	Bs = 1
 Ni el bloque p ni el q han sido codificados en modo intra. Ni el bloque p ni el q contienen coeficientes codificados. Los 2 bloques tienen la misma imagen de referencia e idénticos vectores de movimiento. 	Bs = 0 (no hay filtrado)

- El filtrado es más robusto (mayor B_s) cuanto mayor es la probabilidad de la aparición de discontinuidades.
- El número de muestras filtradas (P3, P2, ... Q3) y las muestras originales (p3, p2, ... q3) utilizadas para obtener cada muestra filtrada depende tanto de B_s como de algunos umbrales que define el estándar y que varían en función de los parámetros de cuantificación.















Con filtro

Sin filtro





7. Codificación

- AVC permite utilizar distintos algoritmos de codificación:
 - VLC (Variable Length Coding):
 - Es el que definen los codificadores anteriores.
 - Asigna más bits a los símbolos menos frecuentes y menos bits a los más frecuentes.
 - La asignación se hace en base a una única tabla de referencia.
 - CAVLC (Context-based Adaptive Variable Length Coding):
 - Similar a VLC pero teniendo en cuenta las condiciones de contexto de los datos.
 - Tiene más tablas de referencia y escoge la más conveniente en función del contenido de cada imagen.
 - CABAC (Context Adaptive Binary Arithmetic Coding):
 - Está basado en codificación aritmética.
 - Es el más potente (menor bit-rate), pero también el más complejo.
 - También utiliza las condiciones de contexto para tomar decisiones.



7. Codificación

· CABAC:

- Consigue muy buenos resultados gracias a:
 - Utiliza distintos modelos (tablas) para codificar cada elemento, teniendo en cuenta su contexto.
 - Estima la probabilidad de forma adaptativa, en función del contexto de los datos.
 - Utiliza codificación aritmética.
- Consta de los siguientes pasos:
 - Binarización: Cualquier símbolo resultante de la codificación se binariza.
 - Selección del modelo de contexto: El modelo de contexto es un modelo de probabilidad que será aplicado sobre uno o varios símbolos binarios. Se selecciona de entre un grupo de modelos disponibles, en función de las estadísticas de otros símbolos previamente codificados.
 - Codificación aritmética; Se codifica cada bin (cada símbolo binario) de acuerdo con el modelo de contexto seleccionado.
 - <u>Actualización de la probabilidad</u>: Se actualizan los valores de probabilidad del modelo de contexto en función del cada nuevo valor codificado.





Bibliografía

- I. E. Richardson, "The H.264 Advanced Video Compression Standard", John Wiley & Sons, 2011.
- T. Wiegand, G. J. Sullivan, G. Bjontegaard, and A. Luthra, "Overview of the H.264/AVC Video Coding Standard", IEEE Trans. Circuits and Systems for Video Technology, vol. 13, no. 7, pp. 560-676, 2003.
- H. J. Ochoa-Domínguez, J. Mireles-García y J. D. Cota-Ruiz, "Descripción del nuevo estándar de vídeo H.264 y comparación de su eficiencia de codificación con otros estándares", *Ingeniería Investigación y Tecnología*, vol. 8, no. 3, pp. 157-180, 2007.